

УДК 54-31:536.413:537.31/.32:537.621.4

## СИНТЕЗ И СВОЙСТВА $\text{LnBaFeCoO}_{5+\delta}$ ( $\text{Ln} = \text{Nd}, \text{Sm}, \text{Gd}$ )

© 2013 г. А. И. Клындюк, Е. А. Чижова

Белорусский государственный технологический университет, Минск

Поступила в редакцию 17.01.2012 г.

Синтезированы слоистые оксиды  $\text{LnBaFeCoO}_{5+\delta}$  ( $\text{Ln} = \text{Nd}, \text{Sm}, \text{Gd}$ ). Изучены их кристаллическая структура, термическая стабильность, тепловое расширение, электропроводность, термо-ЭДС и магнитная восприимчивость. Установлено, что соединения имеют тетрагональную структуру (пр. гр.  $P4/mmm$ ) с параметрами ячейки  $a = 0.3909(2)$ ,  $c = 0.7695(6)$  нм ( $\text{Ln} = \text{Nd}$ ,  $\delta = 0.65$ );  $a = 0.3908(3)$ ,  $c = 0.7662(6)$  нм ( $\text{Ln} = \text{Sm}$ ,  $\delta = 0.37$ );  $a = 0.3908(2)$ ,  $c = 0.7613(6)$  нм ( $\text{Ln} = \text{Gd}$ ,  $\delta = 0.37$ ). Соединения  $\text{LnBaFeCoO}_{5+\delta}$  являются антиферромагнитными полупроводниками  $p$ -типа, электропроводность и коэффициент линейного теплового расширения которых уменьшаются, а термо-ЭДС и температура антиферромагнитного упорядочения возрастают при уменьшении ионного радиуса  $\text{Ln}^{3+}$ . Величина коэффициента линейного теплового расширения оксидов  $\text{LnBaFeCoO}_{5+\delta}$  вблизи 518–653 К возрастает от  $(12.9–16.6) \times 10^{-6}$  до  $(19.3–26.5) \times 10^{-6} \text{ K}^{-1}$ , что обусловлено выделением из образцов слабо-связанного кислорода. Определены параметры переноса заряда в  $[\text{Fe}(\text{Co})\text{O}_2]$ -слоях кристаллической структуры фаз  $\text{LnBaFeCoO}_{5+\delta}$ .

DOI: 10.7868/S0002337X13030081

### ВВЕДЕНИЕ

Для слоистых перовскитов  $\text{LnBaM}_2\text{O}_{5+\delta}$  ( $\text{Ln} = \text{Y}, \text{PZЭ}; \text{M} = 3d$ -металл) характерна выраженная корреляция между структурой, магнитными, тепло- и электрофизическими свойствами. Сильное перекрывание  $3d$ -орбиталей катионов переходных металлов и  $2p$ -орбиталей анионов кислорода играет ключевую роль в поведении этих оксидов, определяя их уникальные электротранспортные и магнитные свойства. Кобальтиты  $\text{LnBaCo}_2\text{O}_{5+\delta}$  демонстрируют переход металл  $\rightarrow$  диэлектрик и ряд магнитных переходов, обусловленных взаимодействием спиновых, зарядовых и орбитальных степеней свободы катионов кобальта [1–3], а также высокую термо-ЭДС, обусловленную спин-орбитальным вырождением  $3d$ -электронов кобальта [4].

Высокие значения электропроводности фаз  $\text{LnBaCo}_2\text{O}_{5+\delta}$  и подвижности анионов кислорода в их структуре позволяют рассматривать эти оксиды в качестве катодных материалов твердооксидных топливных элементов [5], а также основы для разработки новых кислород-ионных проводников [6].

Богатство свойств перовскитов  $\text{LnBaCo}_2\text{O}_{5+\delta}$  определяет двумерность их структуры и различия в зарядовых и спиновых состояниях входящих в их состав катионов кобальта, которые зависят от кислородной нестехиометрии ( $\delta$ ) фаз  $\text{LnBaCo}_2\text{O}_{5+\delta}$  и величин энергий расщепления кристаллическим полем ( $\Delta_{\text{КП}}$ ) и внутриатомного обменного взаимодействия ( $J_H$ ) [7]. В зависимости от соотношения  $\Delta_{\text{КП}}$  и  $J_H$  ионы кобальта могут находиться в

низко- ( $LS$ ), промежуточно- ( $IS$ ) и высокоспиновом ( $HS$ ) состояниях. При низких температурах энергетически более выгодными являются состояния  $LS$  и  $IS$ . С ростом температуры в кобальтитах протекают спиновые переходы  $LS \rightarrow IS \rightarrow HS$  [4, 7–9].

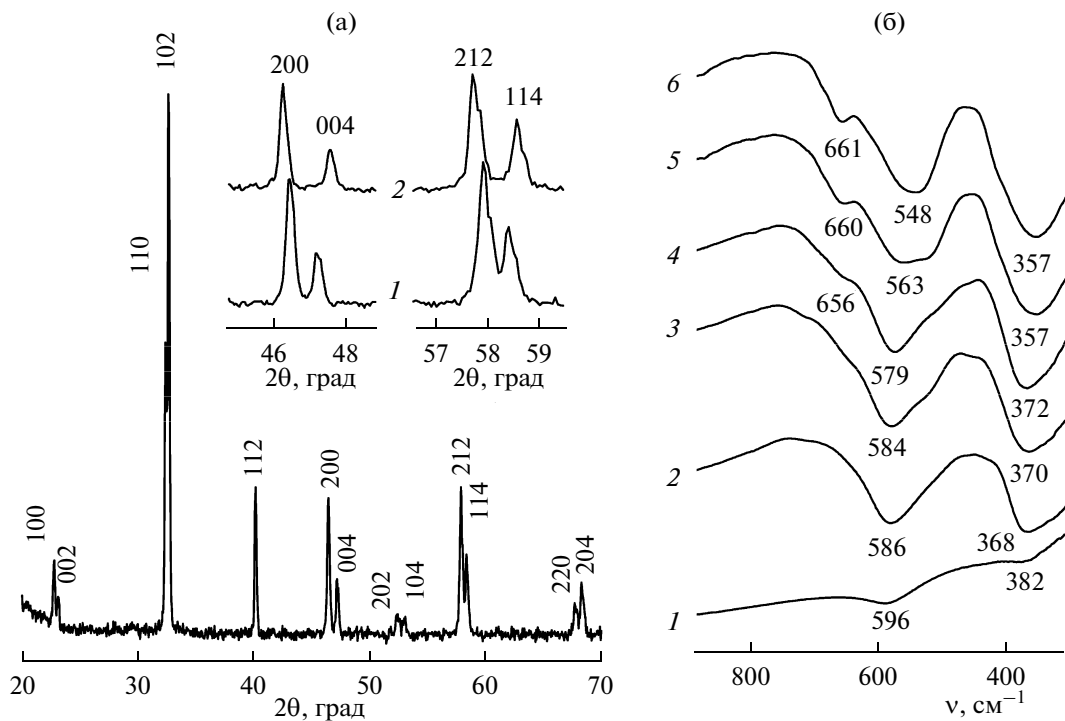
Ферриты  $\text{LnBaFe}_2\text{O}_{5+\delta}$  также обладают интересными электрическими и магнитными свойствами, которые зависят от содержания в них кислорода и резко изменяются при зарядовом упорядочении катионов железа в их структуре (переход Вервея) [10].

Помимо кобальтитов  $\text{LnBaCo}_2\text{O}_{5+\delta}$  [1–6, 8] и ферритов  $\text{LnBaFe}_2\text{O}_{5+\delta}$  [10], большой интерес вызывают слоистые перовскиты типа  $\text{LnBaM}'\text{M}''\text{O}_{5+\delta}$ ,  $B$ -подрешетка которых в равной степени заполнена ионами различных  $3d$ -металлов ( $\text{M}', \text{M}'' = \text{Fe}, \text{Co}, \text{Cu}$ ). К таким соединениям относятся феррокупраты  $\text{LnBaCuFeO}_{5+\delta}$  [11–13], купрокобальтиты  $\text{LnBaCuCoO}_{5+\delta}$  ( $\text{Ln} = \text{Y}, \text{La}$ ) [7, 13–15] и феррокобальтиты  $\text{LnBaFeCoO}_{5+\delta}$  ( $\text{Ln} = \text{La}$  [15],  $\text{Tb} = \text{Ho}, \text{Y}$  [16]).

Цель данной работы – синтез феррокобальтитов  $\text{LnBaFeCoO}_{5+\delta}$  ( $\text{Ln} = \text{Nd}, \text{Sm}, \text{Gd}$ ), определение параметров их кристаллической структуры, изучение их термической стабильности, теплового расширения, магнитной восприимчивости и электрофизических свойств.

### МЕТОДИКА ЭКСПЕРИМЕНТА

Керамические образцы  $\text{LnBaFeCoO}_{5+\delta}$  ( $\text{Ln} = \text{Nd}, \text{Sm}, \text{Gd}$ ) синтезировали из оксидов  $\text{Nd}_2\text{O}_3$  (“х.ч.”),  $\text{Sm}_2\text{O}_3$  (“х.ч.”),  $\text{Gd}_2\text{O}_3$  (“х.ч.”),  $\text{Fe}_2\text{O}_3$



**Рис. 1.** Дифрактограмма фазы  $\text{NdBaFeCoO}_{5.65}$  (на вставке – рефлексы 200 и 004, 212 и 114 для  $\text{NdBaFeCoO}_{5.65}$  (1) и  $\text{NdBaFeCoO}_{5.28}$  (2)) (а) и ИК-спектры поглощения феррокобальтидов  $\text{NdBaFeCoO}_{5+\delta}$  ( $\delta = 0.65$  (1), 0.28 (4)),  $\text{SmBaFeCoO}_{5+\delta}$  ( $\delta = 0.37$  (2), 0.05 (5)) и  $\text{GdBaFeCoO}_{5+\delta}$  ( $\delta = 0.37$  (3), 0.04 (6)) (б).

(ОСЧ 2–4),  $\text{Co}_3\text{O}_4$  (“ч.д.а.”) и карбоната бария  $\text{BaCO}_3$  (“ч.”) на воздухе при температурах 1173–1473 К в течение 60 ч [12, 15, 16]. Для получения образцов с пониженным содержанием кислорода часть порошков  $\text{LnBaFeCoO}_{5+\delta}$  дополнительно отжигали при 1073 К в течение 10 ч в токе  $\text{N}_2$  ( $p(\text{O}_2) = 10^2$  Па), после чего медленно (со скоростью 2–6 К/мин) охлаждали до комнатной температуры с печью, не отключая подачу газа. Для изучения теплового расширения, электропроводности и термо-ЭДС из полученных порошков под давлением 100 МПа прессовали таблетки диаметром 9 и толщиной 3–5 мм и бруски размером 5 × 5 × 30 мм, которые затем спекали на воздухе при 1473 К в течение 10 ч.

Содержание в образцах слабосвязанного кислорода ( $\delta$ ) определяли иодометрически ( $\Delta\delta = \pm 0.01$ ). РФА порошков проводили на дифрактометре Bruker D8 XRD ( $\text{Cu}K_{\alpha}$ -излучение, Ni-фильтр). ИК-спектры поглощения порошков записывали в таблетированных смесях с  $\text{KBr}$  (“х.ч.”), содержащих ~0.5 мас. % образца, на фурье-спектрометре Nexus фирмы ThermoNicolet в интервале частот 300–1500  $\text{cm}^{-1}$  ( $\Delta\nu \leq \pm 2 \text{ cm}^{-1}$ ). Термическую стабильность фаз  $\text{LnBaFeCoO}_{5+\delta}$  исследовали на термоанализаторе Mettler Toledo ( $\text{Ln} = \text{Nd}$ ) и дериватографе MOM Q-1500D системы Paulik–Paulik–Erdey ( $\text{Ln} = \text{Sm}, \text{Gd}$ ) на воздухе ( $p(\text{O}_2) = 2.1 \times 10^4$  Па) в интервале температур 293–

1173 К [15, 16]. Тепловое расширение, электропроводность ( $\sigma$ ) и термо-ЭДС ( $S$ ) поликристаллических образцов исследовали на воздухе в интервале температур 300–1100 К по методикам [17] с точностью  $\leq \pm 5$  и  $\leq \pm 10\%$  соответственно. Экспериментальные значения  $\sigma$  керамики пересчитывали на нулевую пористость по методике, приведенной в [17, 18]. Величины энергии активации электропроводности ( $E_a$ ) и термо-ЭДС ( $E_S$ ) образцов рассчитывали из линейных участков зависимостей  $\ln(\sigma T) = f(1/T)$  и  $S = f(1/T)$  (коэффициент корреляции  $R \geq 0.999$ ). Значения коэффициента линейного теплового расширения (КЛТР) образцов находили из линейных участков зависимостей  $\Delta l/l_0 = f(T)$  с погрешностью  $\leq \pm 5\%$ . Магнитную восприимчивость ( $\chi$ )  $\text{LnBaFeCoO}_{5+\delta}$  определяли пондеромоторным методом в магнитном поле  $H = 8.6$  кЭ и диапазоне температур 77–950 K<sup>1</sup>.

## РЕЗУЛЬТАТЫ И ИХ ОБСУЖДЕНИЕ

Синтезированные на воздухе ( $p(\text{O}_2) = 2.1 \times 10^4$  Па) феррокобальтиты  $\text{LnBaFeCoO}_{5+\delta}$  ( $\text{Ln} = \text{Nd}, \text{Sm}, \text{Gd}$ ) были однофазными в пределах погрешности РФА (рис. 1а) и имели тетрагональную структуру, рефлексы которой были проиндексированы.

<sup>1</sup> Измерения проведены С.С. Дорофеичиком (ГНПО “Научно-практический центр НАН Беларусь по материаловедению”).

**Таблица 1.** Значения параметров кристаллической структуры феррокобальтитов  $\text{LnBaFeCoO}_{5+\delta}$ 

$\text{Ln}$	$\delta$	$a, \text{ нм}$	$c, \text{ нм}$	$V, \text{ нм}^3$	$c/a$
Nd	0.65	0.3909(2)	0.7695(6)	0.1176(2)	1.9685
	0.28	0.3925(3)	0.7646(9)	0.1178(3)	1.9480
Sm	0.37	0.3908(2)	0.7662(6)	0.1170(2)	1.9606
	0.05	0.3934(2)	0.7618(6)	0.1179(2)	1.9365
Gd	0.37	0.3908(2)	0.7613(6)	0.1162(2)	1.9481
	0.04	0.3931(2)	0.7582(6)	0.1172(2)	1.9288

**Таблица 2.** Значения КХР ( $\alpha_\delta$ ) и КТР ( $\alpha_T$ ), а также энергий активации процессов электропереноса ( $E_a$ ,  $E_S$ ,  $E_m$ ) оксидов  $\text{LnBaFeCoO}_{5+\delta}$ 

$\text{Ln}$	Nd	Sm	Gd	
$\alpha_{a,\delta} \times 10^3$	11.04	20.72	17.78	
$\alpha_{c,\delta} \times 10^3$	-17.27	-18.00	-12.36	
$\alpha_{V,\delta} \times 10^3$	4.59	23.94	25.97	
$\alpha_T \times 10^6, \text{ K}^{-1}$	16.6 ( $T < 653 \text{ K}$ ) 26.5 ( $T > 653 \text{ K}$ )	13.6 ( $T < 518 \text{ K}$ ) 19.3 ( $T > 518 \text{ K}$ )	12.9 ( $T < 553 \text{ K}$ ) 19.8 ( $T > 553 \text{ K}$ )	
$E_a, \text{ эВ}$	0.118	0.241	0.313	
$E_S, \text{ эВ}$	0.007	0.114	0.092	
$E_m, \text{ эВ}$	0.111	0.127	0.221	

ваны в рамках пр. гр.  $P4/mmm$  с параметрами  $a = 0.3908\text{--}0.3909 \text{ нм}$ ,  $c = 0.7613\text{--}0.7695 \text{ нм}$  (табл. 1). Как видно, уменьшение ионного радиуса лантанида приводит к закономерному уменьшению размеров элементарной ячейки оксидов  $\text{LnBaFeCoO}_{5+\delta}$  (для координационного числа 8  $R_{\text{Nd}^{3+}} = 0.112 \text{ нм}$ ,  $R_{\text{Sm}^{3+}} = 0.109 \text{ нм}$  и  $R_{\text{Gd}^{3+}} = 0.106 \text{ нм}$  [19]).

После восстановления образцов в токе  $\text{N}_2$  ( $p(\text{O}_2) = 10^2 \text{ Па}$ ) структура их не изменялась, а объем ячейки закономерно возрастал из-за уменьшения  $\delta$  (табл. 1). При этом параметры ячейки феррокобальтитов  $\text{LnBaFeCoO}_{5+\delta}$  с ростом концентрации кислородных вакансий в слоях  $\text{LnO}_\delta$  изменялись различным образом: параметр  $a$  возрастал, а параметр  $c$  уменьшался при снижении содержания в образцах слабосвязанного кислорода  $\delta$ . Как следствие, уменьшение  $\delta$  приводило к увеличению степени тетрагонального искажения феррокобальтитов (уменьшению осевого отношения  $c/a$ ) (табл. 1).

Рассчитанные по формулам [20]

$$\alpha_{a,\delta} = -\left(\frac{\partial \ln a}{\partial \delta}\right)_T,$$

$$\alpha_{c,\delta} = -\left(\frac{\partial \ln c}{\partial \delta}\right)_T,$$

$$\alpha_{V,\delta} = -\left(\frac{\partial \ln V}{\partial \delta}\right)_T$$

значения коэффициентов линейного ( $\alpha_{a,\delta}$  и  $\alpha_{c,\delta}$ ) и объемного ( $\alpha_{V,\delta}$ ) химического расширения (КХР) фаз  $\text{LnBaFeCoO}_{5+\delta}$  приведены в табл. 2. Как видно, для  $\text{Ln} - \text{Sm}$ ,  $\text{Gd}$  уменьшение ионного радиуса РЗЭ приводит к уменьшению (по абсолютному значению) линейных КХР феррокобальтитов  $\text{LnBaFeCoO}_{5+\delta}$ . Для  $\text{Ln} - \text{Nd}$  значение  $\alpha_{a,\delta}$  почти в 2 раза ниже, чем для  $\text{Ln} - \text{Sm}$ ,  $\text{Gd}$  (табл. 2). Причина такого различия, возможно, заключается в том, что расчет КХР оксидов  $\text{LnBaFeCoO}_{5+\delta}$  проведен для различных интервалов степени заполнения ( $\Theta$ ) слоев  $\text{LnO}_\delta$  слабосвязанным кислородом  $\delta$  ( $1/4 < \Theta < 3/4$  для  $\text{Ln} - \text{Nd}$  и  $0 < \Theta < 1/2$  для  $\text{Ln} - \text{Sm}$ ,  $\text{Gd}$ ). Значения  $\alpha_{V,\delta}$  фаз  $\text{LnBaFeCoO}_{5+\delta}$  ( $\text{Ln} - \text{Sm}$ ,  $\text{Gd}$ ) составили 0.024–0.026 ( $0 < \Theta < 1/2$ ) (табл. 2), что ниже по величине, но согласуется по порядку с величинами объемных КХР оксидов  $\text{LaBaFeMO}_{5+\delta}$ :  $\alpha_{V,\delta} = 0.057$  ( $1/2 < \Theta < 1$ ) для  $\text{M} - \text{Co}$  [15] и  $\alpha_{V,\delta} = 0.044$  ( $0 < \Theta < 1/4$ ) для  $\text{M} - \text{Cu}$  [20].

На ИК-спектрах поглощения отожженных на воздухе ( $p(\text{O}_2) = 2.1 \times 10^4 \text{ Па}$ ) оксидов  $\text{LnBaFeCoO}_{5+\delta}$  (рис. 1б, линии 1–3) наблюдаются две выраженные полосы поглощения с экстремумами при  $368\text{--}382 \text{ cm}^{-1}$  ( $\nu_1$ ) и  $584\text{--}596 \text{ cm}^{-1}$  ( $\nu_2$ )  $\text{cm}^{-1}$ , отвечающие деформационным ( $\nu_1$ ) и валентным колебаниям ( $\nu_2$ ) связей  $\text{M}-\text{O}-\text{M}$  ( $\text{M} - \text{Fe}$ ,  $\text{Co}$ ) в их структуре [12, 15, 20]. Отсутствие дополнительных полос поглощения указывает на изотропность связей  $\text{M}-\text{O}-\text{M}$  ( $\text{M} - \text{Fe}$ ,  $\text{Co}$ ) в структуре фаз  $\text{LnBaFeCoO}_{5+\delta}$ . Уменьшение  $\nu_2$  в ряду  $\text{Ln}: \text{Nd} \rightarrow \text{Sm} \rightarrow \text{Gd}$  свидетельствует о том, что уменьшение ионного радиуса РЗЭ приводит к ослаблению взаимодействий  $3d$ -металл–кислород в слоистых феррокобальтитах РЗЭ-бария.

Как видно (рис. 1б), уменьшение содержания кислорода в образцах приводит к смещению полос  $\nu_1$  и  $\nu_2$  в сторону меньших частот. Кроме этого, на ИК-спектрах поглощения отожженных в среде  $\text{N}_2$  ( $p(\text{O}_2) = 10^2 \text{ Па}$ ) феррокобальтитов (рис. 1б, спектры 4–6) появляется дополнительная полоса поглощения с экстремумом при  $656\text{--}661 \text{ cm}^{-1}$  ( $\nu_3$ ). Согласно [12, 15, 20, 21], полоса  $\nu_3$  отвечает валентным колебаниям апикального кислорода  $\text{M}-\text{O}-\text{M}$  ( $\text{M} - \text{Fe}$ ,  $\text{Co}$ ) связей ( $\parallel$  оси  $c$ ), тогда как полосы  $\nu_1$  и  $\nu_2$  соответствуют деформационным и валентным колебаниям связей  $3d$ -металл–кислород в плоскостях  $[\text{Fe}(\text{Co})\text{O}_2]$  ( $\perp$  оси  $c$ ) структуры фаз  $\text{LnBaFeCoO}_{5+\delta}$ .

Таким образом, увеличение концентрации кислородных вакансий в  $\text{LnO}_\delta$ -слоях феррокобальтитов приводит к выраженной анизотропии металл–кислородных связей в их структуре. Уменьшение радиуса РЗЭ практически не сказывается на величине энергии связей  $3d$ -металл–апикальный кислород, но приводит к ослаблению взаимодействий металл–кислород в слоях

[ $\text{Fe}(\text{Co})\text{O}_2$ ] структуры фаз  $\text{LnBaFeCoO}_{5+\delta}$  (смещение полосы  $v_2$  в сторону меньших частот) (рис. 1б).

Из результатов ИК-спектроскопии следует, что степень анизотропии кристаллической структуры феррокобальтитов  $\text{LnBaFeCoO}_{5+\delta}$  увеличивается в ряду  $\text{Nd} \rightarrow \text{Gd} \rightarrow \text{Sm}$  (величина  $\Delta v = v_3 - v_2$  составляет 77, 97 и 113  $\text{cm}^{-1}$  для  $\text{Ln} = \text{Nd}, \text{Gd}, \text{Sm}$  соответственно), что хорошо согласуется с данными РФА (уменьшение осевого отношения  $c/a$  фаз  $\text{LnBaFeCoO}_{5+\delta}$  при уменьшении радиуса РЭ (табл. 1)).

Согласно данным термического анализа, выделение слабосвязанного кислорода из порошков феррокобальтитов  $\text{LnBaFeCoO}_{5+\delta}$  на воздухе ( $p(\text{O}_2) = 2.1 \times 10^4$  Па) начинается вблизи 673 К (рис. 2, кривая 2), что характерно для слоистых перовскитных оксидов [12, 15, 17]. При этом величина индекса кислородной нестехиометрии  $\delta$  фазы  $\text{NdBaFeCoO}_{5+\delta}$ , рассчитанная на основании результатов иодо- и термогравиметрии, при 1023 К составила 0.46.

На зависимостях  $\Delta l/l_0 = f(T)$  образцов  $\text{LnBaFeCoO}_{5+\delta}$  наблюдалась аномалия в области 518–653 К (рис. 2, кривая 1), сопровождающаяся возрастанием КЛТР в 1.4–1.6 раза (табл. 2). Учитывая результаты термического анализа, а также данные [12, 15, 17, 22], отмеченное возрастание КЛТР феррокобальтитов можно связать с увеличением концентрации кислородных вакансий в  $\text{LnO}_8$ -слоях кристаллической решетки этих фаз. Другими словами, при повышенных температурах расширение образцов, помимо термической (рост ангармонизма колебаний), имеет и химическую природу (увеличение концентрации кислородных вакансий).

Как видно из рис. 3, оксиды  $\text{LnBaFeCoO}_{5+\delta}$  являются полупроводниками  $p$ -типа, величина электропроводности которых уменьшается, а термо-ЭДС возрастает при уменьшении ионного радиуса РЭ. При повышении температуры (для  $\text{Ln} = \text{Nd}$  вблизи 670 К) характер электропроводности образцов изменяется с полупроводникового ( $\partial\sigma/\partial T > 0$ ) на металлический ( $\partial\sigma/\partial T < 0$ ) (рис. 3а), а термо-ЭДС начинает резко увеличиваться (рис. 3б), что обусловлено выделением из образцов слабосвязанного кислорода. На зависимостях  $S = f(T)$  образцов  $\text{SmBaFeCoO}_{5+\delta}$  и  $\text{GdBaFeCoO}_{5+\delta}$  наблюдается максимум вблизи 420 и 320 К соответственно (рис. 3б). Увеличение  $S$  фаз  $\text{LnBaFeCoO}_{5+\delta}$  ( $\text{Ln} = \text{Sm}, \text{Gd}$ ) в области температур 300–420 (320) К обусловлено, очевидно, изменением спинового состояния входящих в их состав ионов кобальта аналогично спиновым переходам кобальта в перовскитных кобальтитах  $\text{LnCoO}_3$  и  $\text{LnBaCo}_2\text{O}_{5+\delta}$  [4, 7–9].

Перенос заряда во многих слоистых оксидах при повышенных температурах носит полярон-

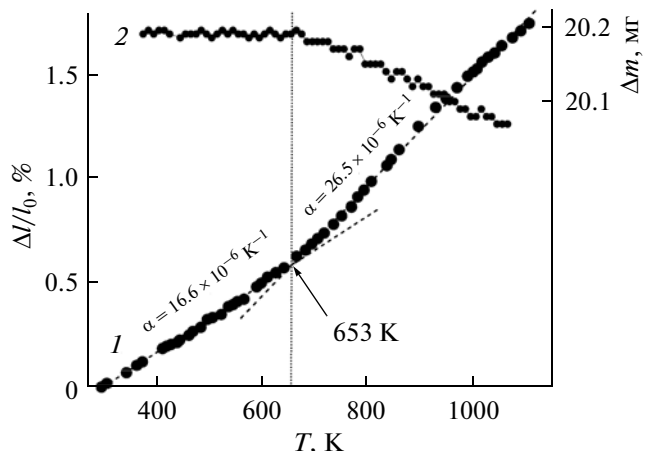


Рис. 2. Температурные зависимости относительного удлинения (1) и потери массы (2) оксида  $\text{NdBaFeCoO}_{5+\delta}$ .

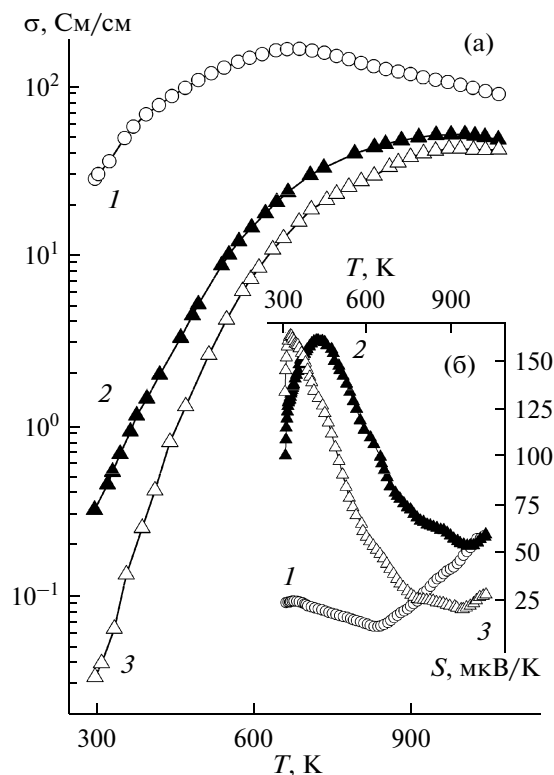


Рис. 3. Температурные зависимости электропроводности (а) и термо-ЭДС (б) феррокобальтитов  $\text{LnBaFeCoO}_{5+\delta}$  ( $\text{Ln} = \text{Nd}$  (1),  $\text{Sm}$  (2),  $\text{Gd}$  (3)).

ный характер. При этом зависимости  $\sigma = f(T)$  и  $S = f(T)$  описываются соотношениями

$$\sigma = \sigma_0 T^{-1} \exp(-E_a/kT)$$

и

$$S = k/e(E_S/kT + B),$$

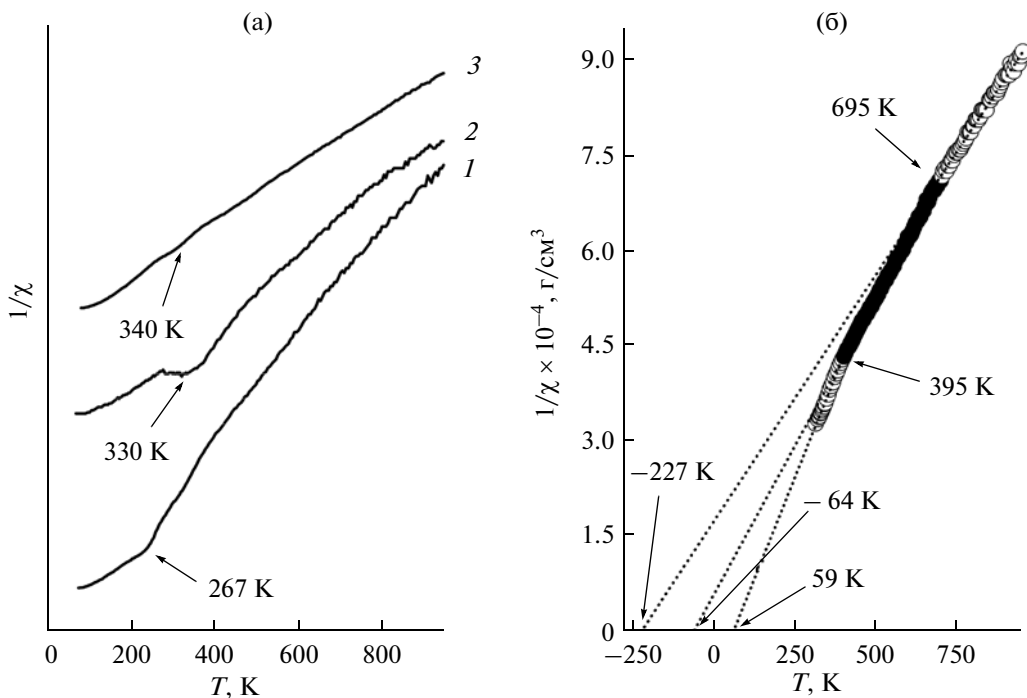


Рис. 4. Температурные зависимости обратной магнитной восприимчивости  $1/\chi$  фаз  $\text{LnBaFeCoO}_{5+\delta}$  ( $\text{Ln} = \text{Nd}$  (1),  $\text{Sm}$  (2),  $\text{Gd}$  (3)) (а) и  $\text{NdBaFeCoO}_{5+\delta}$  в области выполнения закона Кюри–Вейсса (б).

где  $E_a = E_S + E_m$  и  $E_S$  – соответственно энергии активации электропроводности и термо-ЭДС; величины  $E_S$  и  $E_m$  отвечают энергии возбуждения и переноса носителя заряда – полярона [23].

Параметры  $E_a$ ,  $E_S$  и  $E_m$  фаз  $\text{LnBaFeCoO}_{5+\delta}$ , определенные из линейных участков зависимостей  $\ln(\sigma T) = f(1/T)$ ,  $S = f(1/T)$  ( $T < 670$  К,  $\delta \approx \text{const}$ ), приведены в табл. 2. Как видно, значения параметров электропереноса в  $\text{LnBaFeCoO}_{5+\delta}$  возрастают в ряду  $\text{Nd} \rightarrow \text{Sm} \rightarrow \text{Gd}$ , что обусловлено уменьшением ионного радиуса РЗЭ, а также снижением содержания в образцах слабосвязанного кислорода ( $\delta$ ).

На зависимостях  $1/\chi = f(T)$  для фаз  $\text{LnBaFeCoO}_{5+\delta}$  наблюдается аномалия в виде излома (для  $\text{Ln} = \text{Sm}$  – минимума) при температурах 267, 330 и 340 К для  $\text{Ln} = \text{Nd}$ ,  $\text{Sm}$  и  $\text{Gd}$  соответственно (рис. 4а). Учитывая результаты работ [1, 2, 11, 15], можно полагать, что эта аномалия обусловлена упорядочением магнитных моментов ионов 3d-металлов (железа и кобальта) в  $[\text{Fe}(\text{Co})\text{O}_2]$ -слоях структуры феррокобальтидов  $\text{LnBaFeCoO}_{5+\delta}$  ( $\perp$  оси  $c$ ).

В парамагнитной области ( $T > T_N$ ) для соединений  $\text{LnBaFeCoO}_{5+\delta}$  выполняется закон Кюри–Вейсса  $\chi = C/(T - \Theta)$ , где  $C$  – константа Кюри, а  $\Theta$  – парамагнитная точка Кюри (эффективная температура). Для  $\text{Ln} = \text{Gd}$  зависимость  $1/\chi = f(T)$  при  $T > T_N$  линейна, а на зависимостях  $1/\chi = f(T)$  для  $\text{Ln} = \text{Nd}$  и  $\text{Sm}$  наблюдается несколько линей-

ных участков, наклон которых к оси температур уменьшается с ростом температуры (рис. 4б).

Значения констант Кюри, парамагнитных точек Кюри, а также эффективных парамагнитных моментов ( $p_{\text{эф}}^{\text{эксп}}$ ), приходящихся на формульную единицу фаз  $\text{LnBaFeCoO}_{5+\delta}$ , рассчитанных из констант Кюри по формуле

$$p_{\text{эф}}^{\text{эксп}} = \sqrt{\frac{3Ck_B}{N_A\mu_B^2}},$$

где  $k_B$  – константа Больцмана,  $N_A$  – число Авогадро,  $\mu_B$  – магнетон Бора, представлены в табл. 3.

Там же приведены теоретические значения  $p_{\text{эф}}^{\text{теор}}$ , найденные из выражения

$$p_{\text{эф}}^{\text{теор}} = \sqrt{\sum_i \mu_i^2},$$

где  $\mu_i$  – магнитный момент катиона  $i$ -й магнитной подсистемы,  $\mu_i = \sqrt{n(n+2)}\mu_B$ ,  $n$  – среднее число неспаренных электронов у магнитного катиона ( $n = 7$  для  $\text{Gd}^{3+}$ , 5 для  $\text{Sm}^{3+}$ ,  $\text{Fe}_{HS}^{3+}$  и  $\text{Co}_{HS}^{4+}$ , 4 для  $\text{Co}_{HS}^{3+}$  и 3 для  $\text{Nd}^{3+}$  и  $\text{Co}_{HS}^{2+}$ )<sup>2</sup>.

Как видно, для всех исследованных феррокобальтидов  $\text{LnBaFeCoO}_{5+\delta}$  эффективная темпера-

<sup>2</sup> Согласно данным иодометрии, кобальт в  $\text{NdBaFeCoO}_{5.65}$  находится в виде  $\text{Co}^{3+}$  и  $\text{Co}^{4+}$ , а в  $\text{LnBaFeCoO}_{5.37}$  ( $\text{Ln} = \text{Sm}$ ,  $\text{Gd}$ ) – в виде  $\text{Co}^{2+}$  и  $\text{Co}^{3+}$  (железо в  $\text{LnBaCuCoO}_{5.62}$  – в виде  $\text{Fe}^{3+}$ ).

**Таблица 3.** Значения констант в уравнении Кюри–Вейсса ( $C$ ,  $\Theta$ ), а также величин эффективного параметрического момента ( $p_{\text{эф}}^{\text{эксп}}$ ,  $p_{\text{эф}}^{\text{теор}}$ ), приходящегося на формульную единицу фаз  $\text{LnBaFeCoO}_{5+\delta}$

$T, \text{К}$	$C, \text{см}^3 \text{К}/\text{моль}$	$\Theta, \text{К}$	$p_{\text{эф}}^{\text{эксп}}, \mu_B$
$\text{NdBaFeCoO}_{5+\delta}$ ( $p_{\text{эф}}^{\text{теор}} = 8.78 \mu_B$ )			
315–395	3.795	59	5.51
395–695	5.190	–64	6.44
695–950	6.268	–227	7.08
$\text{SmBaFeCoO}_{5+\delta}$ ( $p_{\text{эф}}^{\text{теор}} = 9.39 \mu_B$ )			
365–490	4.939	–361	6.28
490–800	7.227	–665	7.60
800–950	11.03	–1437	9.39
$\text{GdBaFeCoO}_{5+\delta}$ ( $p_{\text{эф}}^{\text{теор}} = 10.77 \mu_B$ )			
400–950	10.49	–63	9.16

тура была отрицательной (за исключением  $\Theta > 0 \text{ К}$  для  $\text{Ln} - \text{Nd}$  в области температур 315–395 К (рис. 4б, табл. 3)), что указывает на отрицательный знак обменного взаимодействия магнитных ионов в их структуре, т.е. на антиферромагнитный характер упорядочения магнитных моментов катионов 3d-металлов и РЭ в слоистых перовскитах  $\text{LnBaFeCoO}_{5+\delta}$ .

Тот факт, что  $p_{\text{эф}}^{\text{эксп}} < p_{\text{эф}}^{\text{теор}}$  (табл. 3), может быть обусловлен высокой степенью ковалентности связей 3d-металл–кислород в структуре фаз  $\text{LnBaFeCoO}_{5+\delta}$ , а также тем, что часть катионов кобальта в их структуре находится не в  $HS$ -, а в  $IS$ - или даже  $LS$ -состоянии. Последнее предположение подтверждается тем, что по мере повышения температуры значения  $p_{\text{эф}}^{\text{эксп}}$  и  $p_{\text{эф}}^{\text{теор}}$  фаз  $\text{LnBaFeCoO}_{5+\delta}$  сближаются (а для  $\text{SmBaFeCoO}_{5+\delta}$  в области температур 800–950 К  $p_{\text{эф}}^{\text{эксп}} = p_{\text{эф}}^{\text{теор}}$  (табл. 3)).

## ЗАКЛЮЧЕНИЕ

Впервые синтезированы феррокобальтиты  $\text{LnBaFeCoO}_{5+\delta}$  ( $\text{Ln} = \text{Nd}, \text{Sm}, \text{Gd}$ ), определены параметры их кристаллической структуры. На воздухе изучены их термическая стабильность, тепловое расширение, электротранспортные свойства и магнитная восприимчивость.

Соединения  $\text{LnBaFeCoO}_{5+\delta}$  имеют тетрагонально искаженную структуру перовскита, размеры элементарной ячейки которой возрастают при увеличении ионного радиуса РЭ и уменьшении содержания в образцах лабильного кислорода ( $\delta$ ), при этом уменьшение  $\delta$  приводит к расширению ячейки фаз  $\text{LnBaFeCoO}_{5+\delta}$  в направлении

слоев  $[\text{Fe}(\text{Co})\text{O}_2]$  и сжатию в направлении, перпендикулярном этим слоям.

Оксиды  $\text{LnBaFeCoO}_{5+\delta}$  ( $\text{Ln} = \text{Nd}, \text{Sm}, \text{Gd}$ ) являются полупроводниками  $p$ -типа, электропроводность и термо-ЭДС которых возрастают при уменьшении ионного радиуса РЭ. Определены параметры электропереноса в этих фазах, выделены термический и химический вклады в их расширение при повышенных температурах. Результаты измерений магнитной восприимчивости указывают на антиферромагнитное упорядочение железа и кобальта в  $\text{LnBaFeCoO}_{5+\delta}$  при температурах 267, 330 и 340 К соответственно для  $\text{Ln} = \text{Nd}, \text{Sm}$  и  $\text{Gd}$ .

Авторы выражают благодарность В.М. Кононовичу за запись дифрактограмм, Т.И. Баранниковой за запись ИК-спектров поглощения и С.С. Дорофеичику за измерение магнитной восприимчивости образцов.

Работа выполнена при поддержке ГКПНИ “Кристаллические и молекулярные структуры” (задание 33).

## СПИСОК ЛИТЕРАТУРЫ

1. Frontera C., Garcia-Muñoz J.L., Llobet A. et al. Spin State Transition: the Origin of Structural, Magnetic and Metal-Insulator Transitions in  $\text{GdBaCo}_2\text{O}_{5+\delta}$  ( $\delta \approx 0.5$ ) // J. Magn. Magn. Mater. 2002. V. 242–245. P. 751–753.
2. Roy S., Dubenko I.S., Khan M. et al. Magnetic Properties of Perovskite-Derived Air-Synthesized  $\text{RBaCo}_2\text{O}_{5+\delta}$  ( $\text{R} = \text{La–Ho}$ ) Compounds // Phys. Rev. B. 2005. V. 71. P. 024419 (8).
3. Klyndyuk A. Layered Perovskite-Like Oxides 0112 Type: Structure, Properties and Possible Applications // Advances in Chemistry Research. V. 5 / Ed. Taylor J.C. N.Y.: Nova Science Publishers, 2010. P. 59–105.
4. Taskin A.A., Lavrov A.N., Ando Y. Origin of the Large Thermoelectric Power in Oxygen-Variable  $\text{RBaCo}_2\text{O}_{5+x}$  ( $\text{R} = \text{Gd, Nd}$ ) // Phys. Rev. B. 2006. V. 73. P. 121101 (4).
5. Chang A., Skinner S.J., Kilner J.A. Electrical Properties of  $\text{GdBaCo}_2\text{O}_{5+x}$  for ITSOFC Applications // Solid State Ionics. 2006. V. 177. P. 2009–2011.
6. Taskin A.A., Lavrov A.N., Ando Y. Fast oxygen diffusion in A-site ordered perovskites // Prog. Solid State Chem. 2007. V. 35. P. 481–490.
7. Ruiz-Gonzalez L., Boulahya K., Parras M. et al. Recurrent Intergrowth in the Topotactic Reduction Process of  $\text{LaBaCuCoO}_{5.2}$  // Chem. Eur. J. 2002. V. 8. P. 5694–5700.
8. Anderson P.S., Kirk C.A., Knudsen J. et al. Structural Characterization of  $\text{REBaCo}_2\text{O}_{6-\delta}$  Phases ( $\text{RE} = \text{Pr, Nd, Sm, Eu, Gd, Tb, Dy, Ho}$ ) // Solid State Sci. 2005. V. 7. P. 1149–1156.
9. Itoh M., Hashimoto J., Yamaguchi S., Tokura Y. Spin State and Metal-Insulator Transition in  $\text{LaCoO}_3$  and  $\text{RCO}_3$  ( $\text{R} = \text{Nd, Sm and Eu}$ ) // Physica B. 2000. V. 281&282. P. 510–511.
10. Karen P. Chemistry and Thermodynamics of the Twin Charge-Ordering Transitions in  $\text{RBaFe}_2\text{O}_{5+w}$  Series // J. Solid State Chem. 2004. V. 177. P. 281–292.

11. Linden J., Kochi M., Lehmus K. et al. Interplay between Cu and Fe Valences in BaR(Cu<sub>0.5</sub>Fe<sub>0.5</sub>)<sub>2</sub>O<sub>5+δ</sub> Double Perovskites with R = Lu, Yb, Y, Eu, Sm, Nd, and Pr // *J. Solid State Chem.* 2002. V. 166. P. 118–127.
12. Клындюк А.И., Чижова Е.А. Свойства фаз RBaCuFeO<sub>5+δ</sub> (R – Y, La, Pr, Nd, Sm–Lu) // Неорганические материалы. 2006. Т. 42. № 5. С. 611–622.
13. Zhou Q., He T., He Q., Ji Y. Electrochemical Performances of LaBaCuFeO<sub>5+x</sub> and LaBaCuCoO<sub>5+x</sub> as Potential Cathode Materials for Intermediate-Temperature Solid Oxide Fuel Cells // *Electrochim. Commun.* 2009. V. 11. P. 80–83.
14. Zhu Z., Tao Z., Bi L., Liu W. Investigation of SmBaCuCoO<sub>5+δ</sub> Double-Perovskite as Cathode for Proton-Conducting Solid Oxide Fuel Cells // *Mater. Res. Bull.* 2010. V. 45. P. 1771–1774.
15. Клындюк А.И. Новые перовскитные оксиды LaBaMCoO<sub>5+δ</sub> (M = Fe, Cu): синтез, структура и свойства // ФТТ. 2009. Т. 51. Вып. 2. С. 256–260.
16. Клындюк А.И., Чижова Е.А. Структура и электрофизические свойства феррокобальтидов LnBaFeCoO<sub>5+δ</sub> (Ln = Tb, Dy, Ho, Y) // ФТТ. 2009. Т. 51. Вып. 4. С. 625–629.
17. Чижова Е. А., Клындюк А.И. Влияние катионного состава феррокупрата LaBaCuFeO<sub>5+δ</sub> на его свойства // Весні НАНБ. Сер. хім. наук. 2007. № 4. С. 11–15.
18. Tripathi A.K., Lal H.B. Electrical Transport in Rare-Earth Orthochromites // *Mater. Res. Bull.* 1980. V. 15. № 2. P. 233–242.
19. Shannon R.D., Prewitt C.T. Revised Values of Effective Ionic Radii // *Acta Crystallogr., Sect. B*. 1969. V. 25. Pt. 5. P. 946–960.
20. Клындюк А.И., Чижова Е.А. Свойства перовскито-подобных фаз LnBaCuFeO<sub>5+δ</sub> (Ln – La, Pr) // Физ. и хим. стекла. 2008. Т. 34. Вып. 3. С. 410–416.
21. Atanassova Y.K., Popov V.N., Bogachev G.G. et al. Raman- and Infrared-Active Phonons in YBaCuFeO<sub>5</sub>: Experimental and Lattice Dynamics // *Phys. Rev. B*. 1993. V. 47. № 22. P. 15201–15207.
22. Клындюк А.И. Термическое и химическое расширение феррокупратов LnBaCuFeO<sub>5+δ</sub> (Ln = La, Pr, Nd) и твердого раствора LaBa<sub>0.75</sub>Sr<sub>0.25</sub>CuFeO<sub>5+δ</sub> // ЖХХ. 2007. Т. 52. № 9. С. 1436–1443.
23. Мотт Р., Дэвис Э. Электронные процессы в некристаллических веществах. Т. 1. М.: Мир, 1982. 368 с.